

有機質土の静止土圧係数について

西日本工業大学 正員 ○守原一哉

九州大学 正夏 山内豊勝

1.まえがき 土の静止土圧係数は、土の力学的性質に重要な影響を及ぼすものである。例えば、側方拘束下での一次元圧密状態では、圧密時に進行する軸応力がいかなる二次圧密と関連すること、圧密中の応力の異方性からの後のせん断強度の異方性による影響、粘土の密度増加もしくは静止土圧係数における影響などである。著者らは粘土のクリープ特性を検討するに当たっては、クリープ試験機を用いて圧密を挙げる時、負荷移動では、土中の応力を十分再現しえないと考え、Koの圧密方式三輪クリープ試験が可能な三輪圧密試験機を作成し、粘性土の変形（とくにクリープ）に及ぼす応力状況及び粘土構造の影響を検討している。本文はこれらの実験結果。うちKoの圧密結果のみに限れ、静止土圧係数と関連せしむから、抜舌す。

2. 土の静止土圧係数に関する従来の研究と筆者らの意見 静止土圧係数に影響する因子は、砂と粘土では多少異なるのであるが、いずれにせよ有効内圧・摩擦角・潤滑度などである。表に示すのは $K_0 = f(\phi_m)$ の式、 $K_0 = 1 - \sin \phi'$ の式、 $K_0 = 0.95 - \sin \phi'$ の式である。 ϕ_m は土の隙間水圧の零点における平衡摩擦角、 ϕ' は土の隙間水圧の零点における自体摩擦角であるとしている。 ϕ_m は圧密平衡時にもじろくされる有効内圧・摩擦角を導入して、例えば $K_0 = f(\phi_m)$ のように形で表わす必要がある。筆者らは粘性土の K_0 に影響する因子を記述すると最終的には、 $K_0 = f(\phi_m, I_p, n)$ で表わされると考えられる。砂の場合、粒子形状や粒子の詰まり方による影響はほとんど考慮されておらず、粘土も初期構造などによる影響はそれほど多くないが、圧密平衡状態では ϕ_m にどの影響が現れるかを考慮する。

3. 三軸圧密試験 (continued) 3.1 三軸圧密試験機の概要 試作した三軸圧密試験機の概要を図-1に示す。

従来のものに比較して、次のようないくつかの特徴がある。 i) 変形方向と軸
本方向は同じ、 ii) 側面変位は 120° から直接触らず平均的
に 10 程度を保つ、 iii) 側圧は油圧サ一ホー機構によつて自
動制御可能、 iv) 供試体高さは 6~12 cm まで可変など。

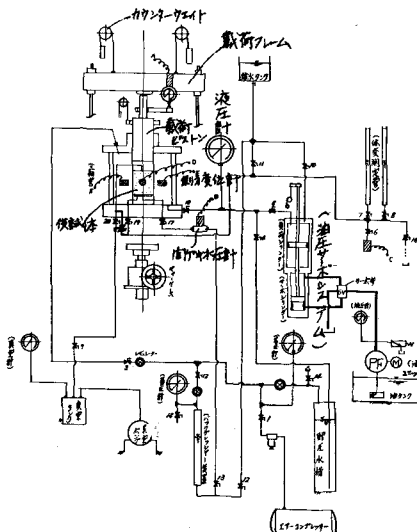
3.2 試料 試験に用いた試料の物理的性質は、 $G_s = 2.35$, $WL = 260\%$, $I_p = 97\%$ で、福岡県糸田町国道20号線より採取された未熟成な有機質粘土である。今回供試試体は全て高さ6cm、直径6cmの正方形である。3.3 実験方法

載荷時の圧密荷重は通常の圧密試験のように段階的ではなく、一段階のみのもの、排水率 10^{-7} の条件下、K0状態に達したもののほど種々行ったが、それはこれをとくに述別しない。また除荷時には、 1.6 kN/cm^2 を基準に $n=1$ 、 $2.4.8 \text{ kN}$ 変化させた。

4. 試驗結果與分析 4.1 載荷時，靜止工作條件

図-1 三軸圧密試験機の概要

ここで 載荷時の位相は土における一定であるとされたとするが、もしもしたら $\nu = K_0/(1+K_0)$ (5) はまた求められる。アーチン比が一定となる場合、たゞ一三軸圧縮試験における求められた ν は偏平化に



より求められた γ は側圧時によって異なることから、 K_0 値も
应力状態によつて異なることが予測される。図-2 はこの点を
調べた結果である。予測と実験結果はよく一致する。

荷時の静止土圧係数 除荷時の静止土圧係数 $K_{0,rel}$ に依
つて変化することとはこれまでにも確かめられてゐる。図
-3 は従来のデータと今回のものと比較したものである。Alpan³⁾
より $K_{0,rel}/K_0 = n^\lambda$ (λ : I_p による定数) ----- (6) がおこ
る。

表わせると $K_{0,rel} = K_0 \cdot n^\lambda$ 入れば I_p に依つて減少する (因循的)。図-2 静止土圧係数以及垂直增加応力の影響

4.3 二次圧密に及ぼす K_0 値 の影響 压密進行に伴う生ずる

3 軸差応力 $\sigma'_3 = (1-K_0)\sigma_3^*$...
… (7) において K_0 が本にく

らなる二次圧密が卓越すると考
えられる。図-4 はこれを
示しており、また図-5 は増加
応力と二次圧密速度の関係を
示している。図-2 の結果を考
え合せると、増加応力が十分

大きくなれば、二次圧密への影響は K_0 の値よりも σ'_3 の影
響が大きくなれるほど明らかである。図-6 は二次圧密に
及ぼす有効応力比 σ'_3/σ_m ($\sigma'_3 = \sigma_3 - \sigma'_1$, $\sigma_m = \frac{1}{3}(\sigma_1 + \sigma_2 + \sigma_3)$)
の影響を示す。広い範囲でわざと σ'_3 が σ_m より大きくなる
ようにして、 $K_0 = \frac{3 - (\sigma'_3/\sigma_m)}{4(\sigma'_3/\sigma_m + 3)}$ ----- (8) が K_0 の影
響を示す。これは逆の傾向があるものと思われる。軸差応力の影響

は図-7 が明確である。5. あとかき 上以上は K_0

圧密および K_0 に関する結果、現在行なつては排水川

-1° の行なうべき研究である。今後は応力のレベルが

下りを基準としておき、側圧土圧比を較べて行なうと考えている。また、本
実験を進めていた当つて、日本工業大学 土工学科卒業の西田謙次、勝山正義子
の両君に多大の協力を得たことを付記し、謝意を表す。引用文献 1)

Jaky, J. (1944): *Talajimechanika (Soil Mechanics
in Hungarian)*, Budapest, 2) Brooker, E.W. and H.O.

Ireland (1965): *Earth Pressure at Rest related to
Stress History*, Canadian Geotech. J., Vol. II,
No. 1, pp 1-15, 3) Alpan, I. (1967): *The Empirical
Evaluation of the Coefficients K_0 and $K_{0,rel}$* , Soil and

Foundation, Vol. III, No. 1, pp. 31-40 図-7 二次圧密 K_0 に及ぼす軸差応力の影響

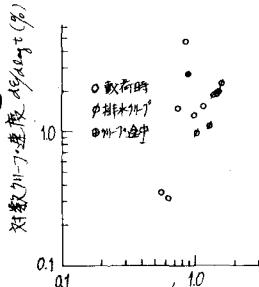
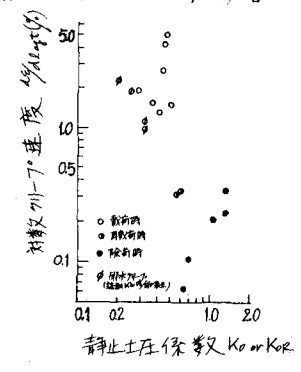
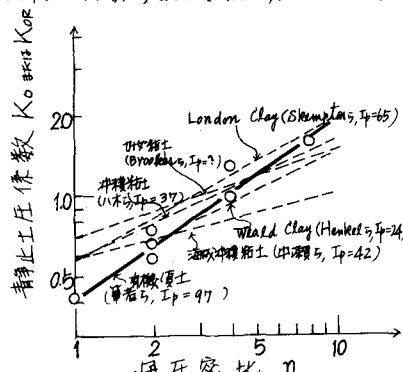
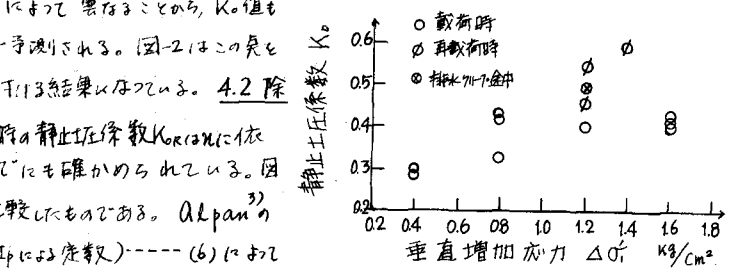


図-5 二次圧密に及ぼす有効応力比の影響

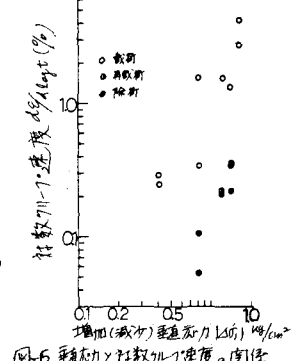


図-6 増加(減少)垂直応力 $\Delta\sigma_1$ に及ぼす軸差応力の影響

